SCAMP2与Rab8a在小鼠原代巨噬细胞源性泡沫细胞胆固醇转运中的作用

林俍良,潘海强,丁 航,马卫列,张志珍* (广东医科大学生物化学与分子生物学教研室,广东东莞 523808)

摘 要:目的 探讨分泌载体膜蛋白2(SCAMP2)与GTP酶Rab8a在小鼠原代腹腔巨噬细胞源性泡沫细胞胆固醇转运中的相互作用。方法 8周龄雄性C57BL/6NJ小鼠提取腹腔巨噬细胞,加入50 mg/L乙酰化低密度脂蛋白(acLDL)诱导48h,建立巨噬细胞源性泡沫细胞模型;加入10 mg/L 载脂蛋白A-1(apoA-1)12h诱导泡沫细胞内胆固醇流出,用qRT-PCR、Western blot、免疫荧光检测SCAMP2、Rab8a表达,免疫共沉淀观察SCAMP2、Rab8a蛋白相互作用。结果泡沫细胞内SCAMP2和Rab8a表达增加,且存在相互作用;apoA-1处理上调泡沫细胞中SCAMP2和Rab8a表达、相互作用及共定位。结论 SCAMP2与Rab8a可能在apoA-1诱导泡沫细胞胆固醇外流过程中起协同促进作用。

关键词: 巨噬细胞; 泡沫细胞; SCAMP2; Rab8a; 载脂蛋白 A-1

中图分类号: R 54

文献标志码: A

文章编号: 2096-3610(2022)02-0132-05

Role of SCAMP2 and Rab8a in cholesterol transport of primary mouse macrophage-derived foam cells

LINLiang-liang, PAN Hai-qiang, DING Hang, MA Wei-lie, ZHANG Zhi-zhen* (Department of Biochemistry and Molecular Biology, Guangdong Medical University, Dongguan 523808, China)

Abstract: Objective To investigate the interactionbetween secretory carrier membrane protein 2 (SCAMP2) and GTPase Rab8a in cholesterol transport of primary mouse peritoneal macrophage-derived foam cells. Methods The peritoneal macrophages were isolated from 8-week-old male C57BL/6NJ mice and incubated with 50 mg/L acetylated low-density lipoprotein (acLDL) for 48 h to induce foam cells. The cholesterol efflux of foam cells was induced by treatment with 10 mg/L apolipoprotein A-1 (apo A-1) for 12 h. Expression of SCAMP2 and Rab8a and their interaction were determined by qRT-PCR, Western blot, immunofluorescence and co-immunoprecipitation. Results Overexpression and interaction of SCAMP2 and Rab8a were found, and apoA-1 treatment upregulated their expression, interaction, and colocalization in foam cells. Conclusion Both SCAMP2 and Rab8a could play a synergistic role in promoting cholesterol efflux from foam cells induced by apoA-1.

Key words: macrophage; foam cell; SCAMP2; Rab8a;apolipoprotein A-1

动脉粥样硬化是心血管疾病的病理基础,其早期特征以巨噬细胞脂质代谢功能障碍导致的泡沫细胞形成为主要标志,是引发心血管疾病发生和患者死亡的主要原因^[1]。载脂蛋白A-1(apoA-1)是高密度脂蛋白的重要结构蛋白组分,在机体脂质代谢过程中具有介导泡沫细胞胆固醇外流、维持机体胆固醇稳态、抗

收稿日期: 2022-01-07

基金项目: 广东省基础与应用基础研究基金自然科学基金 (2020A1515 010224)

作者简介: 林俍良(1991—),女,在读研究生,E-mail: 774889947@qq.com

通信作者: 张志珍(1967—),女,博士,教授,E-mail: zzzhang@gdmu.edu.cn 动脉粥样硬化的作用^[2]。研究表明,apoA-1能介导泡沫细胞内累积的胆固醇以囊泡形式胞吐至细胞外,有多种蛋白质参与该胆固醇囊泡转运过程^[3]。分泌载体膜蛋白2(SCAMP2)是一种进化上保守的含有4个跨膜区的膜整合蛋白,主要在胞内分泌囊泡及质膜上表达,以复合物形式参与胞吐/胞吐过程,在调节囊泡转运及细胞分泌过程中发挥关键作用^[4]。Ras相关蛋白(Ras-related protein)Rab8a是参与细胞膜转运和囊泡运输的调控因子^[5]。在巨噬细胞中,Rab8a参与控制细胞表面蛋白的转运和循环,如基质金属蛋白酶、腺苷三磷酸结合盒转运体A1等^[6]。然而,SCAMP2和Rab8a是否参与apoA-1介导的泡沫细胞内胆固醇囊泡转运以及它们是否具有相互作用,目前尚不清楚。

我们前期从Jackson实验室引进SCAMP2基因敲除的杂合子小鼠,并成功繁殖获得同一品系的野生型C57BL/6NJ小鼠[□]。本实验将提取野生型小鼠腹腔巨噬细胞,建立泡沫细胞模型,分析SCAMP2和Rab8a的表达情况及二者之间的相互作用。

1 材料和方法

1.1 仪器与材料

1.1.1 仪器 荧光定量PCR仪(德国Roche公司);电泳及电转移装置(美国Bio-Rad公司);5417R高速台式离心机(德国Eppendorf公司);C400成像系统(美国Azure Biosystems公司);SYNERGY H1酶标仪(美国Biotek公司);TCS SP8共聚焦荧光显微镜(德国Zeiss公司)。

1.1.2 实验动物与材料 野生雄性 C57BL/6NJ小鼠 (种鼠 C57BL 品系的 C57BL/6NJ-Scamp2 eml 小鼠购自 美国 Jackson 实验室,库存号:028970)按照 SPF 级动物饲养标准于广东医科大学实验动物中心进行饲养繁殖。RPMI 1640培养基购自 Invitrogen 公司;胎牛血清购自 Gibco 公司;乙酰化低密度脂蛋白(acLDL)购自安徽经科生物技术有限公司;apoA-1 和 Protein A/G 磁珠购自 Sigma 公司;细胞总 RNA 抽提试剂 Trizol购自 Thermo Fisher公司;逆转录和定量 PCR 试剂盒购自 Takala公司;羊抗兔 SCAMP2 多克隆抗体、羊抗鼠 Rab8a 单克隆抗体和β-tubulin 抗体购自 Proteintech 公司;二抗及荧光二抗购自上海碧云天生物技术有限公司。

1.2 方法

1.2.1 小鼠腹腔巨噬细胞的分离与培养 雄性 8 周龄 SPF 级 C57BL/6NJ小鼠禁食过夜后,颈椎脱臼法处死,腹腔注射 5 mL 预冷的 RPMI 1640 培养基,按摩腹壁 5 min后收集腹腔内富集的巨噬细胞。1 500 r/min离心 8 min,弃上清,用含 10% 胎牛血清和 1%青霉素/链霉素的 RPMI 1640 培养基重悬细胞,接种于6 孔板(1.2×10⁶个细胞/孔),在 37 ℃、5% CO₂培养箱中培养6h,用 RPMI 1640 空白培养基轻轻冲洗 2~3 次,去除未贴壁细胞,培养板上的贴壁细胞即为实验所用的原代巨噬细胞。

1.2.2 建立泡沫细胞模型 提取的腹腔巨噬细胞用含10%胎牛血清的RPMI 1640培养基培养12 h后,用空白培养基洗2次,加入含有50 mg/L乙酰化低密度脂蛋白(acLDL)0.2% BSA的 RPMI 1640培养基孵育48 h,诱导巨噬细胞转变为泡沫细胞。

1.2.3 apoA-1 处理与实验分组 巨噬细胞源性泡沫

细胞用空白培养基洗 2 次,用含 0.2% BSA 的 RPMI 1640 培养基平衡 12 h,加入 10 mg/L 的 apoA-1 作用 12 h。实验中未做任何处理的原代巨噬细胞作为对照组;加入 acLDL 诱导 48 h 转变的泡沫细胞即为 acLDL 组;加入 apoA-1 处理 12 h 的泡沫细胞即为 apoA-1组。

1.2.4 qRT-PCR 实验 上述不同处理组细胞分别用核酸提取试剂 Trizol 提取细胞总 RNA,6孔板每孔加入1 mL Trizol 进行裂解。使用 Takala 逆转录试剂盒,将提取的 RNA 逆转录为 cDNA,随后用 Takala 试剂盒进行 qPCR 分析。 PCR 扩增程序为:95 ℃、30 s;95 ℃、5 s,60 ℃、30 s,循环 40 次;95 ℃、10 s、65 ℃、60 s、97℃、1 s。以 GAPDH 为内参,计算 SCAMP2 和 Rab8a mRNA 相对表达量。 SCAMP2、Rab8a、GAP-DH 引物由上海生工生物工程有限公司设计并合成,序列见表 1。

表1 qRT-PCR引物序列

	1 4,1,4,4,4
名称	序列(5′→3′)
SCAMP2-F	GCGACAACAGTTCCTGCCACAC
SCAMP2-R	TCCTCCTAGTAGCGTCTGCCTCTC
Rab8a-F	AGACCAGTGCAAAGGCCAACATC
Rab8a-R	GCTGCTCCACTGTGATCTTGACTC
GAPDH-F	CACTACCGTACCTGACACCA
GAPDH-R	ATGTCGTTGTCCCACCACCT

1.2.5 Western blot实验 提取的腹腔巨噬细胞铺入 6孔板(1.2×10⁶个细胞/孔),用50 mg/L acLDL处理 48 h,再用10 mg/L apoA-1作用12 h,对照组不做任何 处理。提取不同处理组细胞总蛋白,BCA法测定蛋 白含量。用10%SDS-PAGE凝胶将等量的蛋白稀释 样品进行电泳分离;电泳结束后,将凝胶中的蛋白质 在4°C、110 V恒压下转移90 min至PVDF膜;5%脱 脂奶粉室温封闭1h,分别加入SCAMP2、Rab8a、β-tubulin — 抗(1:1 000 稀释),4 ℃孵育过夜;用 1×TBST 洗膜3次,每次10 min,加入相应的二抗(1:2 000稀 释),室温孵育1h;用1×TBST洗膜3次,每次10 min; 采用Azure Biosystems C400成像系统进行曝光显影。 1.2.6 免疫共沉淀(Co-IP)实验 提取腹腔巨噬细胞 铺入10 cm培养皿(7×10⁶个细胞),经acLDL和apoA-1 处理后,加入500 μL 预冷的含 PMSF 的 RIPA (弱) 蛋白裂解缓冲液,冰上裂解细胞30 min;收集细胞, 12 000 r/min、4 ℃离心 5 min, 收集上清液。每组细胞 的裂解产物取50μL作为阳性对照(input组),剩余裂 解产物平均分成2份,分别加入2μg的免疫球蛋白作

为阴性对照(IgG组)和相应 SCAMP2、Rab8a、β-tubulin 抗体(IP组),置于 4 °C冰箱交联。交联过夜后加入 30 μL protein A/G 磁珠,常温交联 2 h,再次拉下免疫复合物,用裂解缓冲液洗涤。每个样品加入 30 μL 的 2×SDS缓冲液,蛋白变性后进行 Western blot分析。

1.2.7 免疫荧光(IF)实验 提取的腹腔巨噬细胞铺 24孔板进行细胞爬片(1.5×10⁵个细胞/孔)。不同处理 组的细胞用 4%多聚甲醛室温固定 20 min; 1×PBS 漂洗 3次,每次 5 min,加入含 5%BSA 的 PBS 缓冲液进行封闭,摇床 1 h;加入 SCAMP2 抗体、Rab8a 抗体(1:200稀释),4℃孵育过夜;1×PBS 漂洗 3次,每次时间 5 min,加入荧光二抗(1:1000稀释)室温孵育 1 h;加 DAPI染液 200 μL,室温避光 1 min,洗板 3次后封片,使用 TCS SP8 共聚焦荧光显微镜观察 SCAMP2 和 Rab8a 的定位和表达情况。

1.3 统计学处理

采用GraphPad Prism 6.02 软件进行统计学分析,数据以均数±标准差表示,采用单因素方差分析及

LSD-t检验,以P<0.05为差异有统计学意义。

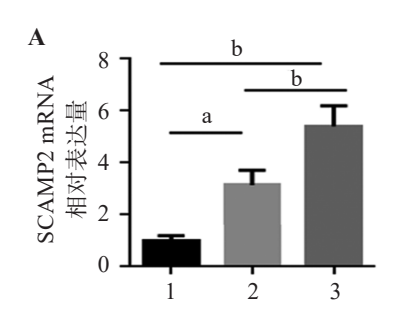
2 结果

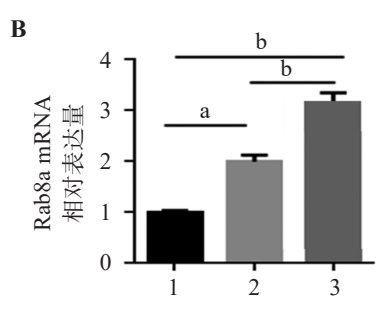
2.1 SCAMP2和Rab8基因表达分析

与对照组相比,acLDL诱导的泡沫细胞内SCAMP2 mRNA表达增强(P<0.01);与acLDL组相比,apoA-1处理的泡沫细胞内SCAMP2 mRNA表达进一步升高(P<0.01),见图1A。用apoA-1处理泡沫细胞后Rab8a mRNA表达水平升高,与对照组和acLDL组相比,差异均有统计学意义(P<0.01),见图1B。

2.2 SCAMP2和Rab8a的蛋白表达分析

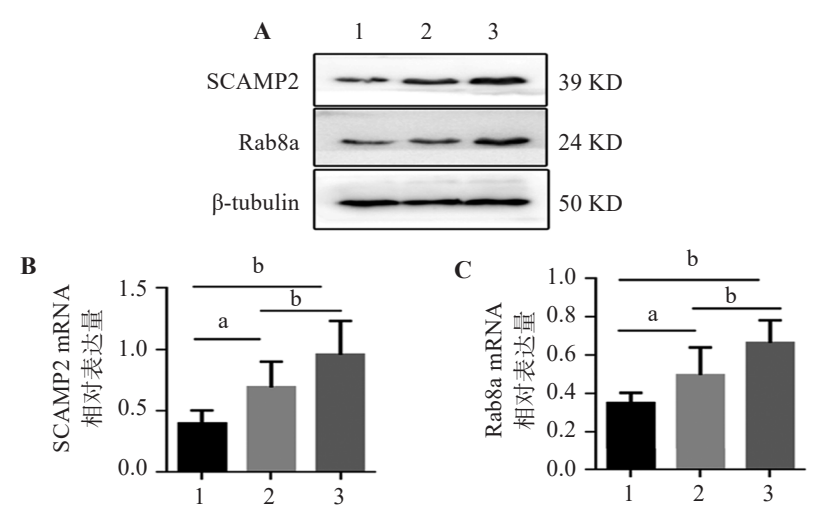
Western blot 分析显示, apoA-1 处理的泡沫细胞组 SCAMP2 和 Rab8a 的蛋白表达, 与对照组和 acLDL组相比均明显增强, 结果见图 2A。与 acLDL组相比, apoA-1 处理组 SCAMP2 蛋白表达升高了 38.5%, 差异有统计学意义(P<0.05), 见图 2B; 与 acLDL组相比, apoA-1 处理组 Rab8a 蛋白表达升高了 30.8%, 差异有统计学意义(P<0.05), 见图 2C。





A. SCAMP2基因 mRNA 的相对表达量; B. Rab8a 基因 mRNA 的相对表达量; 1. 对照组; 2.acLDL组; 3.apoA-1组; acLDL组与对照组比较: ^aP<0.01; apoA-1组与对照组、acLDL组比较: ^bP<0.01

图 1 qRT-PCR 检测巨噬细胞内 SCAMP2 和 Rab8a mRNA 的表达水平



A. Western blot 分析不同处理组 SCAMP2和 Rab8a 蛋白表达量; B. 灰度扫描分析 SCAMP2 蛋白相对表达量; C. 灰度扫描分析 Rab8a 蛋白相对表达量; 1. 对照组; 2.acLDL组; 3.apoA-1组; acLDL组与对照组比较: *P<0.05; apoA-1组与对照组\acLDL组比较: *P<0.05 图 2 巨噬细胞内 SCAMP2和 Rab8a的蛋白表达分析

2.3 SCAMP2与Rab8a在巨噬细胞内的相互作用

免疫共沉淀结果表明,内参β-tubulin在两种抗体处理的不同组细胞中表达量基本一致(图3A)。与对照组相比,acLDL诱导的泡沫细胞内SCAMP2蛋白与Rab8a蛋白形成复合物,而加入apoA-1介导泡沫细胞胆固醇外流过程中,SCAMP2蛋白与Rab8a蛋白的相互作用增强,见图3B的IP组。

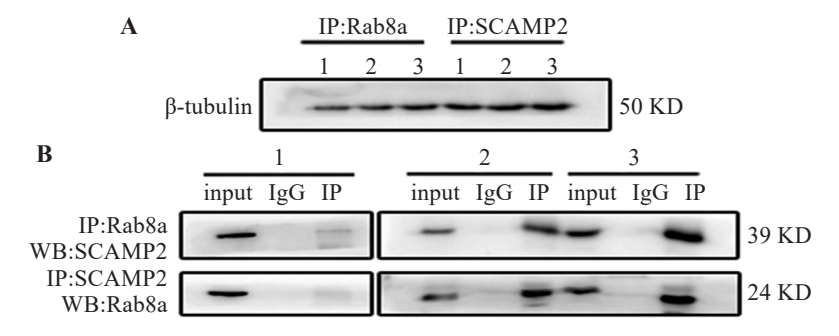
2.4 SCAMP2与Rab8a在巨噬细胞内的共定位

对不同处理组的巨噬细胞进行免疫荧光染色,结果见图 4。相比于对照巨噬细胞,泡沫细胞内SCAMP2(绿色荧光)和Rab8a(红色荧光)表达均增强。当用apoA-1处理泡沫细胞介导胆固醇外流时,SCAMP2和Rab8a的荧光强度进一步增加,而且两种蛋白在细胞膜上聚集,二者在细胞质膜处的共定位(黄色荧光)表达增强。

3 讨论

分泌载体膜蛋白(SCAMPs)是高尔基体及后高

尔基体循环转运中的一类载体蛋白,调控细胞内运输 和信号转导。SCAMPs家族有5个成员,即 SCAMP1~5,参与细胞内囊泡的运输及细胞内物质到 细胞膜表面的转运,能加速细胞膜重构,影响胞吞和 胞吐融合孔的形成、稳定及扩张[8]。SCAMP2作为分 泌囊泡的标记物,早期研究发现在哺乳动物细胞中能 够与磷脂酸肌醇4,5-二磷酸(PIP。)相互作用,调节囊 泡的胞吐过程[9]。最近研究发现,SCAMP2通过其疏 水性肽段 CWYRPIYKAFR 与 PIP, 之间发生静电相互 作用,可抑制胞外分泌[10]。但SCAMP2是否参与 apoA-1介导的泡沫细胞内胆固醇囊泡转运目前报道 较少。为此,我们首先提取小鼠腹腔巨噬细胞,贴壁 培养后加入acLDL,诱导形成巨噬细胞源性泡沫细 胞。在此基础上,用apoA-1进行处理介导泡沫细胞 胆固醇外流,分析 SCAMP2 在细胞内的表达改变。 研究发现,acLDL诱导形成的泡沫细胞内SCAMP2的 mRNA和蛋白水平均升高,提示SCAMP2参与了 apoA-1介导的泡沫细胞胆固醇转运过程。



A. Western blot 分析不同处理组细胞裂解液中内参β-tubulin 的表达; B. 分别用 Rab8a 抗体和 SCAMP2 抗体在细胞裂解液中沉淀 SCAMP2 和 Rab8a 蛋白,沉淀复合物采用 Western blot 方法进行检测; 1. 对照组; 2. acLDL组; 3. apoA-1组

图 3 SCAMP2与Rab8a在巨噬细胞内的相互作用分析

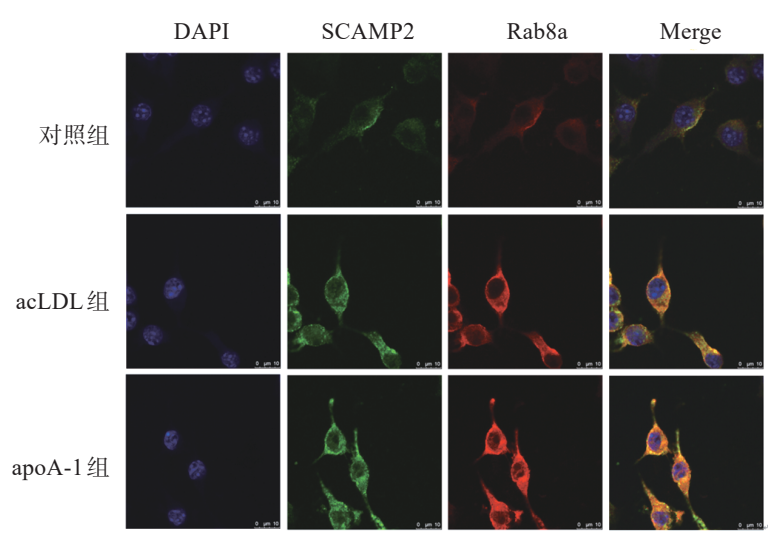


图4 SCAMP2和Rab8a在巨噬细胞内的定位观察

Ras 相关蛋白(Rab)是属于GTP酶超家族的一类 单分子蛋白质,大约有70种,在细胞内囊泡运输过程 中发挥重要作用[11]。Rab GTP 酶充当分子开关,由鸟 嘌呤核苷酸交换因子激活后,与GDP结合的无活性 Rab转变为有活性的GTP-Rab结合形式,并募集特异 的效应蛋白,进而调控囊泡的形成、融合及与质膜锚 定[12]。小GTP酶Rab8在膜转运中起着重要作用,在 分泌途径中,Rab8调节细胞囊泡从反面高尔基体到 质膜的运输,调节囊泡与质膜的融合,控制胞吐活 性[13]。Rab8包括Rab8a和Rab8b两种亚型[6],能调控 细胞膜转运和囊泡运输过程。有研究发现Rab8a介 导的胞内脂滴增大可能在帕金森发病机制中起重要 作用[14],并且Rab8a的72位磷酸化在脂滴融合和增大 中发挥作用[15]。然而,Rab8a在巨噬泡沫细胞内胆固 醇囊泡运输中的作用目前研究较少。我们的实验发 现, Rab8a mRNA 和蛋白水平在 acLDL 诱导形成的泡 沫细胞内升高, 当用 apoA-1 处理后, 泡沫细胞内 Rab8a mRNA 和蛋白水平进一步升高,提示 Rab8a 参 与了apoA-1介导的泡沫细胞胆固醇囊泡转运过程。

为了分析 SCAMP2 蛋白与 Rab8a 蛋白在巨噬细 胞内是否具有相互作用,我们分别用Rab8a抗体和 SCAMP2 抗体在巨噬细胞、泡沫细胞和 apoA-1 处理 的泡沫细胞的蛋白裂解液中富集蛋白复合物,分析显 示 acLDL 诱导的泡沫细胞内 SCAMP2 蛋白与 Rab8a 蛋白形成复合物,提示二者存在相互作用。当用 apoA-1处理泡沫细胞后,SCAMP2与Rab8a的相互作 用增强,说明两种蛋白以复合物形式参与了胆固醇的 转运过程。为了进一步验证这一结果,我们采用免疫 荧光实验分析 SCAMP2 蛋白和 Rab8a 蛋白在细胞内 的表达及定位情况。与免疫共沉淀结果一致,通过激 光共聚焦显微镜观察到 acLDL 诱导的泡沫细胞内 SCAMP2的绿色荧光和Rab8a的红色荧光增强,而且 二者相互作用形成复合物,出现叠加的黄色荧光。 apoA-1 处理泡沫细胞后,绿色荧光和红色荧光进一 步增强,并且在细胞质膜处出现了更强的黄色荧光, 说明两种蛋白在细胞膜上的共定位。本实验结果证 实了SCAMP2与Rab8a在巨噬细胞源性泡沫细胞中 具有相互作用,二者以复合物形式参与apoA-1介导 的泡沫细胞内胆固醇囊泡转运,但两种蛋白之间是否 具有直接相互作用及其作用的机制需进一步研究。

参考文献:

- [1] UNKART J T, ALLISON M A, ARANETA M R G, et al. Burden of peripheralartery disease on mortality and incident cardiovascular events[J]. Am J Epidemiol, 2020, 189(9):951-962.
- [2] AN T, ZHANG X, LI H, et al. GPR120 facilitates cholesterol efflux in macrophages through activation of AMPK signaling pathway[J]. Febs J, 2020, 287(23):5080-5095.
- [3] MA W, LIN M, DING H, et al. b-COP as a component of transport vesicles for HDL apolipoprotein-mediated cholesterol exocytosis[J]. PloS ONE, 2016, 11(3):e0151767.
- [4] YUE C, XIE S, ZHONG J, et al. SCAMP2/5 as diagnostic and prognostic markers for acute myeloid leukemia[J]. Sci Rep, 2021, 11(1):17012.
- [5] STYPULKOWSKI E, FENG Q, JOSEPH I, et al. Rab8 attenuates Wnt signaling and is required for mesenchymal differentiation into adipocytes[J]. J Biol Chem, 2021, 296:100488.
- [6] TONG S J, WALL A A, HUNG Y, et al. Guanine nucleotide exchange factors activate Rab8a for Toll-like receptor signalling [J]. Small GTPases, 2021, 12(1):27-43.
- [7] 梁钰敏, 张飞龙, 丁航, 等. SCAMP2基因敲除小鼠子代基因型的鉴定与繁殖[J].广东医科大学学报, 2017, 35(6):610-613.
- [8] LAW A H, CHOW C M, JIANG L. Secretory carrier membrane peoteins[J]. Protoplasma, 2012, 249(2):269-283.
- [9] LIAO H, ELLENA J, LIU L, et al. Secretory carrier membrane protein SCAMP2 and phosphatidylinositol 4, 5-bisphosphate interactions in the regulation of dense core vesicle exocytosis [J]. Biochemistry, 2007, 46(38):10909-10920.
- [10] MAO F, DUAN H, ALLAMYRADOV A, et al. Expression and prognostic analyses of SCAMPs in pancreatic adenocarcinoma[J]. Aging (Albany NY), 2021, 13(3):4096-4114.
- [11] ZHU S, BHAT S, SYAN S, et al. Rab11a-Rab8a cascade regulates the formation of tunneling nanotubes through vesicle recycling[J]. J Cell Sci, 2018, 131(19):jcs215889.
- [12] VIEWEG S, MULHOLLAND K, BRÄUNING B, et al. PINK1-dependent phosphorylation of Serine111 within the SF3 motif of Rab GTPases impairs effector interactions and LRRK2-mediated phosphorylation at Threonine72[J]. Biochem J, 2020, 477(9):1651-1668.
- [13] URRUTIA P J, BODALEO F, BÓRQUEZ DA, et al. Tuba activates Cdc42 during neuronal polarization downstream of the small GTPase Rab8a[J]. J Neurosci, 2021, 41(8):1636-1649.
- [14] WASCHBÜSCH D, PURLYTE E, KHAN A R. Dual arginine recognition of LRRK2 phosphorylated Rab GTPases[J]. Biophys J, 2021, 120(9):1846-1855.
- [15] YU M, ARSHAD M, WANG W, et al. LRRK2 mediated Rab8a phosphorylation promotes lipid storage[J]. Lipids Health Dis, 2018, 17(1):34.